

اثر سرعت بالاروی ابر در تولید خرده یخ در دمای ثابت

علیرضا صادقی حسینی*

چکیده

راه اندازی یخ در ابر از مهمترین زمینه‌های پژوهش‌های هواشناسی در خلال ۵۰ سال گذشته بوده است که مورد توجه مخصوص دانشمندان تعديل ابر می‌باشد. با وجود اینکه موفقیت‌های زیادی در این زمینه‌ها به دست آمده هنوز ابهامات بسیاری در مورد فرایندهای هسته‌بندی وجود دارد. یکی از مهم‌ترین منابع تولید یخ در ابر، فرایند تکثیر یخ هالت - موساپ (H-M) می‌باشد. در این پژوهش فرایند (H-M) در دمای سطح برفک نسبتاً ثابت ($T_s \approx -5^\circ\text{C}$) و آب محتوا ابر (0.93g m^{-3}) در گستره وسیع تری از سرعت‌های بالارو، یعنی از $1\text{ms}^{-1} - 12\text{ms}^{-1}$ با دستگاه میله چرخان با شعاع‌های $15 - 25\text{ cm}$ در یک اطاقک سرد تولید ابر مطالعه شده است.

آزمایش‌های انجام شده با تایید نتایج محققین گذشته (هالت و موساپ ۱۹۷۴ و موساپ ۱۹۸۵) یک بیشینه فرعی در حدود 35 ms^{-1} تا 40 ms^{-1} خرده یخ بر میلی‌گرم برفک را در سرعت بالارو 3 ms^{-1} نشان می‌دهد. افزون بر این برای اولین بار در دنیا، یک بیشینه آهنگ تولید خرده یخ با 60 ms^{-1} تا 70 ms^{-1} خرده یخ بر میلی‌گرم برفک در سرعت بالارو 6 ms^{-1} ثبت شده که احتمالاً به دلیل ترکیب دو اثر تغییر بافت برفک از شکل پر به دانه ذرت و فرایند شکافته شدن پوسته یخی می‌باشد. در این مطالعات همچنین مشخص شده است که در یک سرعت بالاروی ثابت، تغییر شتاب چرخشی اثر قابل ملاحظه‌ای بر تولید خرده یخ ندارد.

کلیدوازه‌ها: راه اندازی یخ در ابر^۱، فرایندهای هسته‌بندی^۲، فرایند تکثیر یخ^۳، برفک^۴، خرده یخ^۵، فرایند شکافته شدن پوسته یخ^۶

۱ مقدمه

هالت و موساپ^۷ (H-M, 1974) اولین کسانی در دمای -5°C - اتفاق می‌افتد. در کارهای اولیه، موساپ و هالت (۱۹۷۴)، بیان کرده‌اند که آهنگ تولید خرده یخ‌ها به وجود قطرک‌هایی با قطر بزرگتر یا مساوی $25\text{ }\mu\text{m}$ بستگی دارد و تولید زمینه یخی، یخ می‌زنند ذره‌های یخی با دماهای بین -30°C و -8°C از آنها می‌جهند که تولید بیشینه آنها

1. ice initiation in clouds
2. nucleation processes
3. ice multiplication process
4. rime
5. ice splinters
6. ice shell - fracture process
7. Hallett and Mossop

1. ice initiation in clouds
2. nucleation processes
3. ice multiplication process
4. rime
5. ice splinters
6. ice shell - fracture process
7. Hallett and Mossop

* مؤسسه ژئوفیزیک دانشگاه تهران، صندوق پستی ۱۴۱۵۵-۶۴۶۶، تهران.

یخی، آزاد می شود. فشار بیشتر باعث شکسته شدن انتهای میخ و پرش یک یا تعداد بیشتری خرده یخ، می شود.

بر طبق فرضیه شکست پوسته یخی، علت تولید بیشینه خرده یخ در دمای 5°C ، عوامل محدودکننده مربوط به دماهای بالاتر و پایین تر، می باشد. قطرک ها در دماهای بالاتر از 30°C ، به پخش شدن روی زمینه، بیشتر از یخ زدن به صورت یک کره مشخص، تمایل دارند (مک لین و پین^۱، ۱۹۶۷). قطع شدگی دمای پایین در حدود 8°C به علت رشد سریع پوسته که قوی تر از آن است که توسط فشار داخلی شکسته شود و در نتیجه قطرک ها به سمت داخل یعنی مرکز قطرک، یخ می زنند (گریگر و چولارتون^۲، ۱۹۸۳). بنابراین فقط در محدوده دمایی 3°C تا 5°C ساختمان بخش های کوچکی از قطرک های یخ زده و جریان های حرارتی از آنها برای فرآیند (H-M) مناسب است.

سرعت بهینه برای تولید خرده یخ نیز می تواند بوسیله فرضیه شکسته شدن پوسته توصیف شود. وقتی سرعت نسبی بین برفرگیگر و قطرک ها بالا باشد، قطرک ها به پخش شدن در سطح یخ تمایل دارند تا پل را که اساسی است تشکیل دهند. گرچه در سرعتهای خیلی کم، ساختمان بر فک مناسب تر است ولی ممکن است برای تشکیل یک پوسته یخی کامل آهنگ انتقال گرمای همرفتی از قطرک های یخ زده، ناکافی باشد و در نتیجه احتمال تولید خرده یخ کاهش یابد.

در اینجا برای بررسی این که گویچه های یخی می توانند هم زمان که به مرحله تولید سنگ تگرگ

خرده یخ متناسب با آهنگ جمع آوری قطرک های بزرگ می باشد. در دمای 5°C - 25°C از هر $25\text{ }\mu\text{m}$ قطر کوچکتر یا مساوی $25\text{ }\mu\text{m}$ یک خرده یخ می جهد که این بدون در نظر گرفتن سرعت برفک گیر می باشد (موساب^۱ ۱۹۷۶)، بعداً گلد اسپیت^۲ و همکاران (۱۹۷۶)، و موساب (۱۹۷۸) دریافتند که قطرک هایی با قطر کوچکتر یا مساوی $12\text{ }\mu\text{m}$ نیز بر روی فرآیند (H-M) اثر دارند. موساب (۱۹۷۶) متذکر شد که تولید خرده یخ حداقل در سرعت های $1/4\text{-}3\text{ ms}^{-1}$ تغییری نمی کند و به سرعت برفک گیر نیز زیاد حساس نیست.

با انجام یک رشته آزمایش موساب (۱۹۷۶) و ویشارت^۳ (۱۹۷۷) دریافتند که در سرعت ثابت $1/4\text{ ms}^{-1}$ ، افزایش شتاب جانب مرکز تا 6.0% اثر قابل ملاحظه ای در تولید خرده یخ ندارد. بعداً فوستر و هالت^۴ (۱۹۸۲)، نشان دادند که تولید یخ ثانویه حداقل برای افزایش کمتر یا مساوی 2°C بین دمای سطح برفک و دمای ابر، بیشتر تابع دمای سطح برفک است.

نظریه جاری براساس کار چولارتون^۵ و همکاران (۱۹۸۰ و ۱۹۷۸) و موساب (۱۹۸۵) می باشد که براساس آن قطرک های درشت با قطر بزرگتر یا مساوی $25\text{ }\mu\text{m}$ به صورت اتفاقی با این روش برافزایش می شوند که به وسیله یک پل باریک به یک زمینه یخی متصل شده سپس با از دست دادن گرما، شرایط برای تشکیل یک پوسته یخی کامل در اطراف قطرکی که در حال یخ زدن است، فراهم می شود. فشار تولید شده در داخل قطرک، با ترک دادن پوسته و تولید برآمدگی و میخ

1. Mossop

2. Goldsmith

3. Wishart

4. Foster and Hallett

6. Macklin and Payne

7. Griggs and Choularton

۲ روش‌های آزمایشگاهی

۱.۲ اتفاق ابر

آزمایش‌ها در یک اتفاق ابری که قبل از ترویج شده، با انداختن کیث و ساندرز^۴ (۱۹۹۰) ترویج شده است. ابعاد اتفاق تغییر، انجام شده است. ابعاد اتفاق $1/5 \times 1/5 \times 2\text{m}$ است که دیواره‌های آن از ورقه‌های آلومینیومی است که در چهارچوب فلزی سبکی قرار دارد. این اتفاق در یک اتفاق سرد کننده قرار گرفته است. ابری از قطرک‌های آب ابر سرد که از یک جوش آور در باز که به دیواره اتفاق ابر نصب شده است ایجاد می‌شود. این تمیید برای اطمینان از این مساله است که دمای سقف اتفاق بالای 0°C باشد که خطر شمارش بلورهای اضافی فرو افتاده از آن وجود نداشته باشد. برای کمینه کردن گرمای منتقل شده از طرف جوش آور به اتفاق، جوش آور کاملاً عایق‌بندی می‌شود.

آب محتوا و توزیع اندازه قطرک‌های ابر به ترتیب به نیروی اعمال شده به جوش آور بخاری و اندازه خروجی جوش آور بستگی دارد (موساب^۵، ۱۹۸۵). برای سازگاری بهتر توزیع اندازه قطرک‌های فرایند تکثیر H-M، قطر خروجی و نیروی اعمال شده به جوش آور در همه آزمایش‌ها به ترتیب در 12cm و 60W ثابت نگه داشته شده است.

پس از اینکه جوش آور روشن می‌شود، در حدود 60 تا 90 دقیقه طول می‌کشد تا ابر به دمای پایدار و اندازه قطرک یکنراخت برسد. در خلال این مدت غلظت قطرک‌ها کاهش می‌یابد ولی قطر متوسط آنها افزایش می‌یابد. از این به بعد طیف اندازه قطرک‌ها به آرامی تغییر می‌کند و در مدت

نژدیک می‌شوند، به تولید خردیخ نزدیک می‌شوند، به تولید خردیخ نزدیک می‌شوند، اثر سرعت در گستره وسیع تری مطالعه شده است. این اندازه‌گیری‌های آزمایشگاهی در دمای سطح برفک 5°C - و آب مایع محتوای ($\text{LWC} \approx 1\text{gm}^{-3}$) نشان دادند که تولید خردیخ بر میلی‌گرم برفک، $1/5 - 12\text{ ms}^{-1}$ تابع سرعت برفک‌گیر در گستره است. بیشینه تولید خردیخ پریده در سرعت 6ms^{-1} و به میزان 70 خردیخ بر میلی‌گرم برفک بوده است.

اخيراً اين آهنگ توليد خردیخ در آزمایشگاه توسط تحليل ديده‌بانی‌های ميدانی از ابرهای كومه‌ای تابستانی روی نيومكزيکو (بليث و لاتام^۱، ۱۹۹۷) با آهنگ 50 خردیخ بر میلی‌گرم برفک بر افزایش شده، تايد شده است. همچنین، پژوهشگران هواشناسی (باور^۲ و همکاران، ۱۹۹۶) بوسيله يك هواپيماري تحقيقاني هركولوس موفق شده‌اند غلظت‌های بالايی از بلورهای يخني ستونی کوچک را در ابرهای پوشني، در ناحيه H-M (بين 3°C تا -8°C)، با بالاترين غلظت، تقریباً برابر 50 ms^{-1} که در تراز 6°C اتفاق افتاده همراه با بیشینه دیگری در تراز 15°C ثبت کنند. میسون^۳ (۱۹۹۸) پیشنهاد کرده است که غلظت‌های بالای بلورهای کوچک با قطر کوچکتر از $125\mu\text{m}$ که در سطح 15°C - گزارش شده خردیخهایی هستند که در ناحیه H-M و در غیاب ابر آبدار، بین 8°C تا 12°C به آرامی رشد کرده‌اند ولی بعداً در سلولهای همرفتی که دارای محتوای آب مایع تقریباً 1gm^{-3} و سرعت‌های تقریباً برابر 1 ms^{-1} هستند، به سرعت به رشد خود ادامه داده‌اند.

1. Blyth, and Latham
3. Mason
5. Mossop

2. Bower
4. Keith and Sounders

۱/۵ تا 12ms^{-1} (شکل ۳)، بچرخند. در ابر سرد، میله‌های استوانه‌ای متحرک، قطرک‌هایی را که در برخورد با سطح جلوی آنها به صورت برفک یخ می‌زنند جمع آوری می‌کند. بلورهای یخی که در خلال رشد برفک می‌جهند از داخل یک پرتو نورانی که از عرض اتفاق و درست از زیر میله‌های چرخان می‌گذرد، دیده می‌شوند. در جلوی نور پراکنده شده، در حجم قابل رویت اتفاق ابر و از پنجه آن، بلورها قابل رویت هستند (شکل ۴).

در خلال آزمایش‌ها دما و توزیع اندازه قطرک‌های ابر (نیروی اعمال شده به جوش آور) و سرعت برفک‌گیر تا جایی که ممکن باشد ثابت نگه داشته می‌شود. بلورهایی که در پرتو نور مشخص می‌شوند، در بسامدهای یک دقیقه‌ای پشت سر هم شمارش می‌شوند. متوسط خرده یخ شمارش شده با کم کردن بلورهای زمینه که عمدتاً توسط برفک‌زدن روی بازوهای برفک‌گیر و دیوارهای اتفاق ابری یا به دلیل عایق بودن اتفاق حاصل شده است، تصحیح می‌شود.

این بلورهای زمینه در دو آزمایش متوالی دیگری بدون حرکت میله چرخان و یکی پس از هر رشته آزمایش با حرکت بازوها بدون میله چرخان با همان سرعتی که آزمایش‌ها انجام شده، شمارش می‌شوند. هر دو آزمایش‌های اصلی و زمینه‌ای ۱۲ دقیقه طول می‌کشد و شمارش در هر دقیقه تقریباً ثابت باقی می‌ماند (دقت نتایج را ببینید)، و از این شمارشها میانگین گرفته می‌شود.

تعداد بلورهای عبور کرده از پرتو نور در ثانیه (A)، با تعداد کل بلورهای فرو افتاده در اتفاق (A_e) به وسیله ضرب (A) در عامل سنجه به دست می‌آید. این عامل نیز از تقسیم تمام حجم مؤثر اتفاق ($V_e = 0.95 \times 1.5 \times 0.5\text{m}^3$) به حجم

زمان باقی‌مانده (در حدود ۲/۵ ساعت) به شرطی که اتفاق کاملاً عایق‌بندی باشد جوش آور می‌تواند بدون پرشدن دوباره، عمل کند. پایداری غلظت قطرک‌ها، تعادل بین هسته‌های میغان جدید و قطرک‌های فرو افتاده را نشان می‌دهد.

شکل ۱ چگونگی تغییرات طیف قطر قطرک با خروجی جوش آور در نیروی ثابت اعمال شده (۶۰۰W) را نشان می‌دهد. یک خروجی باریک با قطر ۱cm، غلظت بالایی از قطرک‌هارا با یک توزیع اندازه باریکی تولید می‌کند، در صورتی که یک جوش آور در باز با خروجی وسیع، ابری با تعداد قطرک‌های کمتر ولی طیف پهن‌تری از اندازه قطرک‌هارا ایجاد می‌کند. در یک نیروی مشخص اعمال شده به جوش آور، با خروجی باریک، ابری با آب محتوای بیشتر ایجاد می‌شود که احتمالاً به دلیل زمان سکونت بیشتر قطرک‌های کوچک در اتفاق است.

شکل ۲ طیف متوسط اندازه قطرک‌های تولید شده توسط یک جوش آور در باز با قطر خروجی ۱۲cm در نیروی ثابت اعمال شده W۶۰۰ را نشان می‌دهد. در این پژوهش میانگین آب مایع محتوای ابر 93gm^{-3} به کار گرفته شده که این با طیف قطرک‌هایی که در شرایط مشابه توسط موساپ (۱۹۸۰) به دست آمده، قابل مقایسه است.

۲.۲ برافزایش برفک و دیده‌بانی تولید خرده یخ
هدف اصلی این پژوهش، مطالعه تولید خرده یخ در دمای ثابت سطح برفک ($5^\circ\text{C} \approx$) با سرعت‌ها و شتاب‌های چرخشی مختلف می‌باشد. برفک‌گیرها دو میله فولادی به طول ۱۵cm و قطر ۴cm هستند که می‌توانند در داخل ابر حول محور عمودی با شعاع ۱۵ یا ۲۵cm در سرعت‌های

بهتر است در محاسبات عددی از آن استفاده شود
بروک، ساندرز^۵ و همکاران، (۱۹۹۷).

آهنگ بر افزایش برفک (RAR) روی میله
برفک‌گیر به EW و سرعت چرخش میله بستگی
دارد به طوری که

$$RAR = EW \times V \text{ gm}^{-2}\text{s}^{-1} \quad (2)$$

۳.۲ اندازه‌گیری دمای سطح برفک و ابر
دمای ابر (T_c) از میانگین اندازه‌گیری‌های دو
ترموکوپلی که در سمت راست و چپ میله‌های
برفک‌گیر متحرک که تقریباً در همان ارتفاع میله‌ها،
نصب شده، بدست می‌آید. T_c به سمت بالا
افزایش می‌یابد. بیشترین اختلاف دما از بالا تا پایین
میله‌های 15°C ، 5°C بوده است.

به دلیل آزاد شدن گرمای نهان ذوب، دمای
سطح برفک بر افزایش شده، بیشتر از محیط
می‌شود. دمای سطح یخ نهشتی بوسیله مک لین و
پین (۱۹۷۶) با در نظر گرفتن توازن بین آهنگ آزاد
شدن گرما به وسیله قطربهای یخ زده و آهنگ
انتقال انرژی به محیط توسط نیروهای همروفتی و
تبخیر، محاسبه می‌شود.

برای برفک‌گیرهای استوانه‌ای، بهترین و
کامل‌ترین معادله پیشنهاد شده عبارتست از:

$$RAR = \frac{L_f + C_w(T_c - T_m) + C_i(T_m - T_s)}{\pi} \quad (3)$$

$$\chi R_e^{0.6} \{ Pr^{1.3} K(T_s - T_c) + S_c^{1.3} L_v \delta(\rho_s - \rho_e) \} / 2R$$

و فرمول مشابهی که برای سنگ تگرگ‌های کروی
به دست آمده به قرار زیر است

قابل رویت افقی ($V_v = 0.32 \times 0.5 \times 0.5 \text{ m}$)
محاسبه می‌شود. بنابراین $\frac{V_e}{V_v} \approx 9$ لذا $A_e = 9 A_v$
از آنجاکه زمان آزمایش‌ها برای اینکه آهنگ
مشاهده بلورها در پرتو نور تقریباً ثابت بماند، به
اندازه کافی طولانی (۱۲ دقیقه) انتخاب شده،
می‌توان فرض کرد که آهنگ فروبریزی بلورها برابر
آهنگ تولید آنها است.

در پایان هر رشته آزمایش، برای محاسبه آهنگ
برفک‌زنی (gs^{-1} ، RR) در یک سرعت بخصوص،
میله‌ها با دقت توزین می‌شوند. پهناهی برفک بر
روی میله‌های 4mm قبل از اساس زمان آزمایش
اندازه‌گیری و متوسط گیری شده است. بنابراین
قطر متوسط (D) برفک‌گیرها در هر سرعت
مشخصی برای اندازه‌گیری آهنگ بر افزایش
برفک^۱، $(1) \text{ gm}^{-2}\text{s}^{-1}$ (RAR) به کار می‌رود.

$$RAR = RR/D \times L \quad (1)$$

که در اینجا، L طول میله است که مقدارش ثابت
می‌باشد ($L = 0.15 \text{ m}$).

ساندرز^۲ و همکاران (۱۹۹۱) از آب مایع
محتوای موثر^۳ EW، استفاده کرده‌اند که این خود
بخشی از آب مایع محتوای^۴ ابر LWC است که
توسط برفک‌گیر براساس کارایی برخوردهش،
جمع آوری شده است. بنابراین EW به اندازه جمع
کننده، اندازه قطرک و به سرعت‌های نسبی آنها
بستگی دارد. غالباً در مدل‌های عددی مقدار EW
را معمولاً برابر LWC در نظر می‌گیرند، ولی این
فرض برای گویجه‌های یخی کوچکی که با سرعت
فروبریزی یکی دو متر بر ثانیه فرو می‌افتد، قطعاً
نادرست است. به علاوه EW به طور مستقیم از
تحلیل‌های آزمایشگاهی به دست می‌آید بنابراین

1. Rime accretion rate 2. Saunders

3. Effective liquid water content

4. Liquid water content 5. Brooks and Saunders

از معادله (۳) برای شعاع مشخص، گسترهای از سرعت‌ها ($V \text{ ms}^{-1}$), دمای ابر به عنوان دمای محیط ($T_c {}^\circ\text{C}$) و آب مایع محتوای موثر ابر (EW gm^{-3}) است.

به دلیل مقادیر بالاتر RAR در سرعت‌های بیشتر بر فک‌گیر، مجموع گرمای نهان آزاد شده به علت برافراش قطرک‌ها و یخ‌بندان آنها نیز افزایش می‌یابد. بنابراین برای اینکه دمای سطح بر فک در دمای حدود $5 {}^\circ\text{C}$ ثابت نگه داشته شود، دمای ابر (T_c) و LWC، همان طوری که در جداول ۱ و ۲ نشان داده شده است، تنظیم شده‌اند.

۳ طیف اندازه قطره و اثر آن در تولید خرد بیخ در هر رشته آزمایش در شرایط معین، طیف بهنجار شده اندازه قطرک‌ها به وسیله مطالعه میکروسکوپی نمونه‌های شبیه‌سازی شده فرم‌وار با گذراندن ذرات ابر از روی اسلاید پوشیده شده با فرم‌وار ۳٪ در یک لوله که به اتفاق وصل شده، به دست می‌آید.

آب محتوای ابر (LWC) از تقسیم آب محتوای موثر ابر (EW) بر کارایی برخورد قطرک‌ها که برای متوجه وزنی حجم قطر قطرک، پهنهای میله و سرعت آن بر طبق داده‌های کارآیی برخورد لانگ مور و بلاگت^۴ (۱۹۴۶) محاسبه شده، به دست می‌آید.

۱.۳ آزمایش‌های اولیه
موساب (۱۹۷۸) در کار قبلی خود اعلام کرد که آهنگ تولید خرد بیخ بر ثانیه (A) از رابطه زیر بدست می‌آید

$$A \approx N_L N_S$$

$$\begin{aligned} & RAR \{ L_f + C_w (T_c - T_m) + C_i (T_m - T_s) \} / 4 = \\ & \chi R_e^{0.5} \{ P_r^{1.3} k (T_s - T_c) + S_c^{1.3} L_v \delta (\rho_s - \rho_e) \} / 2R \end{aligned} \quad (4)$$

سمت چپ این روابط آهنگ گرمای اعمال شده از قطرک‌های برافراش شده در واحد سطح و سمت راست آنها، آهنگ گرمای داده شده به محیط اطراف به علت تهویه و تبخیر بر واحد سطح را ارایه می‌کند. χ مقدار ثابتی است که بسته به ناهمواری، برای استوانه ۰/۲۸ و برای کره ۰/۷۶ می‌باشد و مقدار آن با افزایش ناهمواری سطح و جریان‌های اغتشاشی، زیاد می‌شود. ساندرز و همکاران (۱۹۹۱) دریافتند که بهترین مقدار $\chi = 0/5$ برای آزمایش‌های انجام شده در UMIST اتوسط میله‌های بر فک‌گیر می‌باشد.

RAR عبارتست از آهنگ برافراش بر فک که در واقع برابر حاصل ضرب سرعت برخورد (V) و آب محتوای موثر ابر (EW) می‌باشد. سایر ضرایب نیز به قرار زیر است

C_i گرمای ویژه بیخ، C_w گرمای ویژه آب، δ ضریب انتشار مولکولی بخار آب در هوا، k رسانش گرمایی هوا، L_v گرمای نهان ذوب آب، P_r گرمای نهان تبخیر بیخ، P_e عدد پرانتل^۱، R شعاع استوانه یا کره، R_e عدد رینولدز^۲، S_c عدد اشمت^۳، T_c دمای محیط (دمای ابر)، T_m دمای ذوب بیخ، T_s دمای متوسط سطح بر فک برافراش شده، ρ چگالی بخار آب محیط، ρ_e چگالی بخار آب محیط، ρ_s چگالی بخار آب افزایش شده و χ ضریب انتقال گرما. جداول (۱) و (۲)، یک رشته کامل از داده‌ها را نشان می‌دهد که شامل دمای سطح بر فک ($T_s {}^\circ\text{C}$) محاسبه شده

1. Prantel's number
3. Schmidt's number

2. Reynold's number
4. Longmuir and Blodgett

شده است.

نتایج آزمایشگاهی از (شکل ۵) روابط زیر را در هفت سرعت مختلف نشان می‌دهد

$$V = 1,5 \text{ ms}^{-1} \quad A/N_L = 0,43 \times 10^{-3} + 0,78 \times 10^{-3} \log(N_s/N_L) \quad (5)$$

$$V = 3,0 \text{ ms}^{-1} \quad A/N_L = 2,78 \times 10^{-3} + 5,31 \times 10^{-3} \log(N_s/N_L) \quad (6)$$

$$V = 4,5 \text{ ms}^{-1} \quad A/N_L = 3,00 \times 10^{-3} + 5,77 \times 10^{-3} \log(N_s/N_L) \quad (7)$$

$$V = 6,0 \text{ ms}^{-1} \quad A/N_L = 6,94 \times 10^{-3} + 17,61 \times 10^{-3} \log(N_s/N_L) \quad (8)$$

$$V = 7,5 \text{ ms}^{-1} \quad A/N_L = 2,89 \times 10^{-3} + 2,80 \times 10^{-3} \log(N_s/N_L) \quad (9)$$

$$V = 9,0 \text{ ms}^{-1} \quad A/N_L = 2,38 \times 10^{-3} + 8,04 \times 10^{-3} \log(N_s/N_L) \quad (10)$$

$$V = 12,0 \text{ ms}^{-1} \quad A/N_L = 1,98 \times 10^{-3} + 5,55 \times 10^{-3} \log(N_s/N_L) \quad (11)$$

همانطور که جداول ۱ و ۲ نشان می‌دهند، این روابط برای دمای سطح برفک در حدود -5°C به کار می‌روند. این جداول همچنین اثر مهم غلظت قطرک‌های کوچک را در تولید خردیخ وقتی که N_s/N_L کوچکتر باشد، را نیز نشان می‌دهند. دلیل این امر احتمال اساسی تولید خردیخ که تابع شانس فرو افتادن یک قطره بزرگ بر روی یک قطرک کوچک یخ زده است، می‌باشد.

خطوط در شکل ۵ نشان می‌دهند که تولید خردیخ بر قطرک بزرگ در سرعت 6 ms^{-1} دارای شیب بیشینه است و در سرعت‌های دیگر به شدت به شیب‌های کمتر نزول می‌کند.

با توجه به معادله‌های ۵، ۶ و ۷، مقادیر A/N_L برای مقادیر میانگین N_s/N_L در سرعت‌های $1/5$ و $3/10$ و $4/5 \text{ ms}^{-1}$ به ترتیب برابر $4,3 \times 10^{-4}$ ، $4,3 \times 10^{-3}$ و $1,98 \times 10^{-3}$ می‌باشند.

که در آن N_L و N_s به ترتیب تعداد قطرک‌های بزرگ (قطر بزرگتر از $24/8 \mu\text{m}$) و قطرک‌های کوچک (قطر کوچکتر یا مساوی $12/3 \mu\text{m}$) جاروب شده در ثانیه هستند.

در کار بعدی، موساپ (۱۹۸۵) به صورت واضح تری چگونگی تحت تاثیر قرار گرفتن تولید خردیخ به وسیله آهنگ برافزایش قطرک‌های کوچک (قطر کوچکتر یا مساوی $12/3 \mu\text{m}$) را هنگامی که رابطه بین تولید یخ ثانویه و سرعت بر فک‌گیر در گستره سرعت‌های $0,50 \text{ ms}^{-1}$ و $1,8 \text{ ms}^{-1}$ باشد را کشف کرد. او همچنین پیشنهاد کرد که در سرعت‌های پایین، تولید خردیخ بیشتر در $0,50 \text{ ms}^{-1}$ و در سرعت‌های بالاتر، تولید خردیخ بیشتر در سرعت‌های بیشتر از 5 ms^{-1} اتفاق می‌افتد.

۲.۳ تحقیقات جدید بر روی اثر طیف اندازه قطرک‌ها

آزمایش‌های جدیدی در سرعت‌های $1/5-12 \text{ ms}^{-1}$ و شتاب‌های $0,9-96 \text{ g}$ و در دمای -5°C نسبتاً ثابت سطح برفک ($\approx 500 \text{ W}$) و طیف قطره ثابت (نیروی اعمال شده به جوش آور $D = 4 \text{ mm}$) برای توسعه تحقیقات موساپ طراحی شد.

مقادیر N_s و N_L از توزیع اندازه قطرک‌های هر دسته آزمایش در سرعت‌های مختلف محاسبه شده است (جداوی ۱ و ۲).

تعداد بلورهای یخ ثانویه تولید شده بر قطرک بزرگ (قطر بزرگتر یا مساوی $25 \mu\text{m}$) بر افزایش شده (A/N_L) به صورت تابعی از N_s/N_L ، نسبت قطرک‌های کوچک (قطر کوچکتر یا مساوی $12 \mu\text{m}$) به قطرک‌های بزرگ بر افزایش شده، رسم

حدود 5°C مشاهده می‌شود، در خارج از این محدوده سرعت، به مقادیر کمتر که در جدول ۱ و ۲ نشان داده شده است، نزول می‌کند.

چون این مقادیر به مقادیر معینی از طیف قطرک‌های به کار رفته مربوط می‌شوند، لذا نمی‌توان آنها را به صادگی به صورت دیگر توزیع‌های مربوط به قطرک‌های ابر، به کار برد.

چنانچه در بالا تایید شد، آهنگ برافزایش قطرک‌های بزرگ (قطربرگتر یا مساوی $24.7\mu\text{m}$) در تولید خرده یخ نقش مهمی ایفا می‌کند. بنابراین مقایسه خرده یخ مشاهد شده در پرتو نور، در مقابل قطرک‌های بزرگ برافزایش شده، از طریق ترسیم مقیدتر خواهد بود. به همین دلیل مقادیر A/N_L به عنوان تابعی از سرعت در 5°C در شکل ۶ رسم شده است.

برای مطالعه بهتر فرایند H-M، مجموع خرده یخ‌های تولید شده توسط هر ۲ سانتی‌متر مریع برفرک برافزایش شده، به عنوان تابعی از سرعت، تقریباً با همان خصوصیات شکل ۶ در شکل ۷ نشان داده شده است.

شکلهای ۶ و ۷ عمدتاً از دو شاخه صعودی و نزولی تشکیل شده است که میان یک بیشینه کلی در 6 ms^{-1} و یک بیشینه فرعی در شاخه صعودی در 3 ms^{-1} است. در 7.5 ms^{-1} تولید خرده یخ به مقادیر کمتری نزول می‌کند و در سرعت‌های بالاتر، آهنگ کاهش خرده یخ به آرامی کاسته می‌شود و این روند تا سرعت 12 ms^{-1} ادامه دارد.

۵ اثر چگالی بر ساختمان برفرک برافزایش شده روی جمع کننده‌های استوانه‌ای در سرعت‌های برخورد کم و زیاد برای درک بهتر فرآیند رشد سنگ تگرگ،

$2/88 \times 10^{-3}$ و $2/54 \times 10^{-3}$ می‌باشد. در سرعت $6/0\text{ ms}^{-1}$ ، مقدار میانگین بیشینه A/N_L برابر $6/00 \times 10^{-3}$ است که این به آن معنی است که به طور میانگین از هر ۱۶۶ قطره بزرگ برافزایش شده، یک خرده یخ جهیده است. معادله‌های ۹، ۱۰ و ۱۱ در سرعت‌های $7/5$ ، $9/0$ و $12/0\text{ ms}^{-1}$ به ترتیب مقادیر A/N_L را $2/83 \times 10^{-3}$ ، $2/33 \times 10^{-3}$ و $2/12 \times 10^{-3}$ نشان می‌دهد.

۴ تولید خرده یخ ثانویه در سرعت‌ها و شتاب‌های مختلف در دمای ثابت سطح برفرک دو میله با قطر ($D = 4\text{ mm}$) و شعاع چرخش 25 cm و $R = 15\text{ cm}$ برای جاروب کردن قطرک‌های آب ابر سرد در سرعت‌های $1/5$ ، $1/6$ ، $4/5$ ، $6/0$ ، $7/5$ ، $9/0$ و $12/0\text{ ms}^{-1}$ به کار رفته است. شتاب‌های اعمال شده برای $R = 15\text{ cm}$ برای هر یک از این سرعت‌ها به ترتیب برابر $1/5$ ، $1/6$ ، $13/5$ ، $24/0$ ، $37/5$ ، $54/0\text{ g}$ و $96/0\text{ g}$ و برای شعاع $R = 25\text{ cm}$ ، به ترتیب برابر $9/0$ ، $3/6$ ، $8/1$ ، $14/4$ ، $22/5$ ، $32/4$ و $57/6\text{ g}$ بوده است. همان طور که در ۲.۲ ذکر شد، به علت تغییر ضخامت برفرک بر روی میله‌های برفرک‌گیر با قطر 4 mm ، مقادیر میانگین D برای هر سرعت مشخص محاسبه شده است (جداول ۱ و ۲ را ببینید). بنابراین برای هر مقدار میانگین D در هر سرعت مشخص، کارآیی جمع آوری لانگ مویر و بلاغت (۱۹۴۶) به کار رفته است.

اگر تولید خرده یخ بر میله‌گرم برفرک برافزایش شده بعنوان تابعی از سرعت رسم شود، یک بیشینه تولید در حدود 71 (برای شعاع 15 cm و $R = 64\text{ cm}$) برای شعاع $R = 25\text{ cm}$ خرده یخ بر میله‌گرم برفرک در سرعت 6 ms^{-1} در دمای سطح برفرک

به $V_0 = ۰$ بستگی دارد. به عنوان اولین تقریب، چگالی که توسط معادله (۱۲) داده شده برای مقادیر X کمتر از ۱۷ صادق است، و برای مقادیر بیشتر، مقدار آن برابر $۰.۹ \text{ g cm}^{-۳}$ خواهد شد (خط چین مستقیم در شکل ۸). برای مقادیر X بزرگتر از ۱۰، که چگالی نمی‌تواند به صورت مشخصی کم شود، منحنی کم کم تخت می‌شود. برای محاسبه مقادیر چگالی براساس داده‌های آزمایشگاهی کار اخیر و مقادیری که در جدول ۳ ارایه شده، خطی که بر داده‌های پراکنده مک لین (۱۹۶۲) در T_s های مختلف برآش می‌یابد، مورد استفاده قرار گرفته است.

کلارک^۳ (۱۹۴۸)، اولین فردی بود که برفک نهشتی را به دو خانواده اصلی تقسیم کرد. خانواده‌های یخ شفاف و خانواده‌های برفک که گروه اول ظاهری براق و شفاف دارد ولی گروه دوم فاقد چنین ظاهری هستند. این دو نوع یخ خودشان به شش زیر مجموعه تقسیم می‌شوند: یخ زلال، که به صورت مجازی در آن هوایی محصور شده است، یخ شفاف، که مقادیر متوضطی از هوا بصورت حبابهای بزرگی در آن محصور شده است، یخ شیری، که در آن مقادیر زیادی هوا به صورت حبابهای ریزی ضمیمه شده، برفک کدر، تیره و سفید است و به جای اینکه شکافته شود خرد می‌شود، برفک هسته‌ای شکل که ظاهری مثل ذرات ذرت روی چوب ذرت دارد و برفک پر مانند که ظاهری مانند برفک هسته‌ای شکل دارد ولی بافتی بازتر و شکننده‌تر دارد.

کلارک نشان داد که در این محدوده نوع یخ به چگالی بستگی دارد (چگالی از $۰.۹ \text{ g cm}^{-۳}$ برای یخ زلال تا حدود $۰.۲ \text{ g cm}^{-۳}$ برای برفک پر

فرآیند برافرازیش، مخصوصاً در مورد جمع کننده‌های چرخان، قبل از مطالعه شده است. ساختمان گویچه‌های تگرگ، حرکت آنها را در ابر که تحت تاثیر چرخش یا غلتين است مشخص می‌کند به ویژه موقعی که سرعت‌ها و شتاب‌های بالا اعمال می‌شود. اندازه‌گیری چگالی یخ روی میله‌های چرخان و یا ذراتی که به صورت آزاد فرو می‌افتد توسط مک لین^۱ (۱۹۶۲) و برای استوانه‌ای ثابت نیز توسط لوی و پرودی^۲ (۱۹۹۱) انجام شده است.

چگالی یخ نهشتی گستره‌ای بین $۰.۹ \text{ g cm}^{-۳}$ و $۱.۰ \text{ g cm}^{-۳}$ دارد و با افزایش مقادیر سرعت باد (سرعت برخورد)، دمای محیط، قطر قطرک و غلظت آب مایع در ابر سرد افزایش می‌یابد ولی با افزایش پهنه‌ای برفک‌گیر کاهش می‌یابد. مک لین و پین (۱۹۶۷)، فرمولی به دست آورده که رابطه نسبتاً ساده‌ای را بین چگالی m ($\text{g cm}^{-۳}$) ، شعاع حجمی میانه r (برحسب میکرون)، سرعت برخورد V_0 ($\text{ms}^{-۱}$) و دمای متوسط سطح برفک T_s ($^{\circ}\text{C}$) نشان می‌دهد.

$$m = 0.11 \cdot \frac{T_s}{V_0}^{0.76} \quad (12)$$

در سیستم یکاهای c.g.s ضریب تناسب برابر ۳.۶۴ خواهد بود. این رابطه برای T_s بین -۵ و -۲۰°C و ضریب مک لین ($r = V_0 / T_s$) بین ۸ تا حدود ۱۰ صادق است.

این رابطه برای دمای سطح برفک نزدیک ۰°C پیچیده می‌شود به ویژه موقعی که دمای محیط نیز نزدیک ۰°C باشد.

در دماهای کمتر از -۲۰°C ، جرم حجمی فقط

۶۰۰ W). در نتیجه در دمای سطح برفک ثابت و شعاع حجمی میانه قطرک، چگالی برفک و در نتیجه شکنندگی برفک فقط بستگی به سرعت برخورد دارد (مکلین ۱۹۶۲، لوی و همکاران ۱۹۹۱).

برای آسان کردن مطالعه تولید خرده یخ در شکل‌های ۵، ۶ و ۷ سرعت‌های برفک‌گیر $1/5\text{--}12\text{ms}^{-1}$ به ۵ ناحیه تقسیم می‌شود.

ناحیه (۱)، سرعت‌های $1/5\text{--}3\text{ms}^{-1}$ روند تولید خرده یخ در این ناحیه افزایش می‌یابد و بیشینه تولید خرده یخ در 3ms^{-1} مشاهده می‌شود که با نتایج گزارش شده توسط موساپ (۱۹۸۵)، و فوستر و هالت (۱۹۸۲) همخوانی دارد. رشد بافت نازک و شکننده پر مانند برفک در این ناحیه ($3/45\text{gcm}^{-3}$) با روند افزایش تولید خرده یخ که با افزایش سرعت برفک‌گیر امکان‌پذیر است، ادامه می‌یابد.

ناحیه (۲)، سرعت‌های $3\text{--}4/5\text{ms}^{-1}$ تولید خرده یخ در این ناحیه عمدتاً با شبیه ملایمی کاهش می‌یابد. چگالی برفک در این ناحیه از $3/45\text{gcm}^{-3}$ افزایش می‌یابد. در نتیجه بافت شاخه‌ای برفک پر مانند نازک، کلفت‌تر و قوی‌تر می‌شود تا مکان‌های مناسب‌تری را برای فرآیند خرده یخ در این سرعت‌ها به وجود آورند.

ناحیه (۳)، سرعت‌های $4/5\text{--}6\text{ms}^{-1}$ در این ناحیه یک بیشینه تیزی از تولید خرده یخ در 6ms^{-1} مشخص می‌شود (شکل ۶ و ۷). توضیح چنین بیشینه‌ای به قرار زیر است در این

مانند کاهش می‌یابد).

شفافیت یخ نهشتی برای دما و آب مایع محتواهای ابر، عمدتاً به سرعت برخورد بستگی دارد. اگر سرعت‌های برخورد قطرات کم باشد مکان‌های ابتدایی نهشت، محل‌های مناسبی برای رشد به علت افزایش منطقه‌ای کارایی می‌شود، همینطور در دماهای پایین‌تر بافت برفک طبیعی پرمانند و شکستنی است و قطرک‌های صورت منفرد یخ می‌بندند. در اثر افزایش سرعت برخورد یا افزایش اندازه قطرک‌های مکان‌های اولیه نهشت کمتر مناسب می‌شود، لذا شکاف‌های بین پره‌ها کم کم پر می‌شود و پره‌ها کلفت‌تر شده و ظاهری شبیه دانه‌های ذرت روی چوب آن را پیدا می‌کند. در سرعت‌های بالاتر بافت فشرده‌تر و چگالی بیشتری پیدا می‌کند و دیگر به شکل پر یا دانه ذرت نیست بلکه به شکل توده‌ای غیر شفاف می‌شود. اعضاء خانواده برفک در یک گستره وسیعی از جرم حجمی بسته به شرایط حاکم، شکلی از غیر شفاف، دانه ذرتی و پر مانند خواهد داشت که به ترتیب دارای چگالی $7/0\text{--}9/0\text{ gcm}^{-3}$ (مکلین ۱۹۶۲، لوی و همکاران ۱۹۹۱).

۶ بحث و نتایج

هدف اصلی این پژوهش مطالعه تولید ذرات ثانویه یخی در سرعت‌های برفک‌گیر بالاتر از 3cm^{-1} بوده است. لذا سایر متغیرها تا جایی که امکان داشت ثابت نگه داشته شده است (مثلاً، دمای سطح برفک $T_s \approx -5^\circ\text{C}$ ، شعاع حجمی میانه قطرک $11/2\mu\text{m} \approx 2$ ، با استفاده از یک جوش آور باز با خروجی 12cm و نیروی اعمال شده

خردبین اساسی است. مطالعه فرآیند H-M در گستره وسیعی از سرعت‌ها از $1/5$ تا 12ms^{-1} با شعاع‌های دوران 15 و 25cm ، شتاب‌های چرخشی از $0/9$ تا 96g را اعمال می‌کند. شکل‌های 6 و 7 نشان می‌دهد که در یک سرعت ثابت، تغییر شتاب چرخشی اثر قابل ملاحظه‌ای بر روی تولید خردبین ندارد ولی این سرعت‌ها و شتاب‌های بالا می‌تواند برای شبیه‌سازی حرکت و چرخش‌های گویچه‌ها در ابرهای کومه‌ای به کار رود.

تحلیل‌های اخیر دیدبانی‌های هوایی و زمینی از ابرهای کومه‌ای تابستانی روی نیومکزیکو (بلیث و لاتام، ۱۹۹۷)، با بیشینه 50 خردبین 6ms^{-1} بر می‌گرم برفک بر افزایش شده در هنگام عبور از مرز دمایی $H\text{-M}(3\text{--}8^\circ\text{C})$ با سرعت بالاروی حدود 5ms^{-1} می‌تواند چهارچوبی مناسب برای مقایسه کارهای اخیر باشد. سرعت بالاروی در آنجا از 2ms^{-1} در پایه ابر به بیشینه 10ms^{-1} در ارتفاع $z = 7 \text{ km}$ رسیده است.

ذرات گویچه برای گذر از مرحله رشدتر و تبدیل شدن به سنگ تگرگ باید با سرعت‌های فروریزی بالا (بیشتر از 5ms^{-1}) در ناحیه‌ای از ابر با LWC بالا عبور کنند به طوری که دمای سطح آن به حدود 0°C افزایش یابد. این ذره‌ها در ابتدا دارای دمای سطحی در گستره $2\text{--}8^\circ\text{C}$ بوده‌اند و در این مرحله بدون توجه به دمای ابر قادر به تولید ذره‌های ثانویه یخی بوده‌اند.

اخیراً محققین در هوایی تحقیقاتی هواشناسی هرکولوس، بور و همکاران^۱ (۱۹۹۶)، غلظت‌های زیادی از بلورهای یخی ستونی کوچک را در ابرهای پوششی در ناحیه دمایی $H\text{-M}(3\text{--}8^\circ\text{C})$ تا

ناحیه چگالی برفک $6\text{gcm}^{-3}/0/54-0$ تغییر می‌کند ولی تغییرات قابل ملاحظه‌ای در ساختار برفک در ناحیه (۲) و (۳) وجود ندارد در حالی که سرعت برفک‌گیر دو برابر شده، بنابراین در شرایط موجود دمای سطح برفک ($T_s \approx 5^\circ\text{C}$) و شعاع حجمی میانه قطرک‌ها ($11/2 \mu\text{m} \approx 2$)، تولید خردبین به بهینه مقدارش که در حدود 70 خردبین بر میلی‌گرم برفک است می‌رسد.

ناحیه (۴)، سرعت‌های $6-7/5\text{ms}^{-1}$ در این ناحیه چگالی متوسط برفک $6-7/5\text{gcm}^{-3}$ و سرعت برخورد $6-7/5\text{ms}^{-1}$ افزایش می‌یابد. ظاهر بافت برفک از حالت پر به هسته‌ای شکل که ظاهری شبیه دانه‌های ذرت بر روی چوپش می‌باشد تغییر می‌کند. شکنندگی بافت برفک به دلیل تمایل به پرشدن شکافهای بین پراها در این سرعت‌های بالا، شدیداً کم می‌شود. در نتیجه مکان‌های مناسب نهشت برای تولید خردبین یخ‌توسط فرآیند $H\text{-M}$ کمتر پیدا می‌شود.

ناحیه (۵)، سرعت‌های $7/5-12\text{ms}^{-1}$ در این ناحیه چگالی متوسط $7/5-12\text{gcm}^{-3}$ و سرعت برخورد $7/5-12\text{ms}^{-1}$ افزایش می‌یابد. بافت برفک کم‌کم ضخیم و ضخیم‌تر می‌شود تا عاقبت ظاهری بشکل توده کدر هسته‌ای شکل پیدا کند. بنابراین تولید خردبین یخ در این ناحیه به تدریج به همان دلیل که در ناحیه (۴) ذکر شد، کاهش می‌یابد. به علاوه باید مذکور شد که در این سرعت‌ها و شتاب‌های بالا قطرک‌های بیشتر تمایل به پخش شدن روی سطح یخی دارند تا تشکیل یک پل باریک بدene که این برای تولید

سرعت‌های بالاتر از 6ms^{-1} دقت شمارش خردۀ یخ‌ها کاهش می‌یابد و خطای احتمالی به 21% در 12ms^{-1} افزایش می‌یابد که عمدتاً به علت ابری شدن و یخ‌بندان داخلی پنجره اتفاق سرد می‌باشد.

ب) اندازه‌گیری تعداد قطرک‌های برافزايش شده در ثانیه

طیف اندازه‌قطرک‌های بهنجار شده در ابر، توسط تحلیل‌های میکروسکوپی اسلامیدهایی که با محلول فرموار 3% پوشیده شده و در معرض ابر، به وسیله مکش ابر از یک لوله جدآگانه که به اتفاق متصل شده، اندازه‌گیری می‌شود. چشمۀ اصلی خطا در استفاده از این روش از اختلاف بین کارآیی جمع‌آوری قطرک‌های کوچک و بزرگ ناشی می‌شود. قطرک‌های کوچک اکثراً در نواحی حاشیه‌ای به اسلامید برخورد می‌کنند در صورتیکه قطرک‌های بزرگتر در نواحی مرکزی به اسلامید برخورد می‌کنند. برای بهبود تحلیل‌های میکروسکوپی، نمونه‌ها به طوری بررسی می‌شوند که مسیر تقطیع و میدان دید قطرک‌های بر روی اسلامیدها، در نواحی مرکزی و نواحی حاشیه‌ای اسلامیدها تقریباً یکسان باشد.

برای اطمینان بیشتر، طیف قطرک‌های آزمایش‌های زیادی مورد مطالعه قرار گرفته است که بر طبق آنها شش اندازه‌گیری برای هر دسته آزمایش و در مجموع مطالعه در حدود 120 اسلامید میکروسکوپی را شامل می‌شود. در بدترین حالات خطای احتمالی $13/6\%$ در N_L و $14/9\%$ در نسبت N_N/N_L وجود داشته است.

ج) از (الف) و (ب) دیده می‌شود که در بدترین حالات (سرعت $1/5\text{ms}^{-1}$) مقدار A/N_L می‌تواند خطای احتمالی برابر 34% را نشان دهد.

-8°C ثبت کرده‌اند. بیشترین غلظت‌های با مقدار تقریباً $1^1 500$ با قطر کوچکتر از $125\mu\text{m}$ در سطح 6°C اتفاق افتاده و در ضمن یک بیشینه دیگر نیز در 15°C دیده شده است.

میسون (۱۹۹۸) پیشنهاد کرده است که غلظت‌های بالا از بلورهای کوچک با قطر کوچکتر از $125\mu\text{m}$ که در سطح 15°C گزارش شده، خردۀ یخ‌هایی هستند که از ناحیه H-M منشاء گرفته و در غیاب ابر آبدار بین $8 - 12^\circ\text{C}$ به آرامی رشد کرده‌اند ولی بعداً در اثر ورود به ابرهای همرفتی که دارای آب و سرعت‌های بالاروی بزرگ‌تر از تقریباً 1ms^{-1} بوده، رشد سریع تری انجام شده است.

نتایج به دست آمده در این قسمت نشان می‌دهد که هنوز نکات مبهمی در رابطه با فرآیند H-M با در نظر گرفتن محدودیت‌های دما، سرعت، اندازه قطرک و آب مایع محتوای ابر وجود دارد که به تحقیقات نظری و کارهای آزمایشگاهی، در آزمایشگاه و در ابرهای طبیعی نیازمند است.

۱.۶ دقت نتایج

(الف) اندازه‌گیری ذرات یخی ثانویه تولید شده در ثانیه تعداد خردۀ یخ‌های مشاهده شده در پرتو نور (A)، برای شمارش‌های یک دقیقه‌ای در 12 دقیقه پشت سر هم برای آزمایش‌های اصلی و هم زمینه‌ای آزمون شده است.

در دمای نسبتاً ثابت دمای سطح برفک (-5°C)، آزمایش‌هادر $1/5\text{ms}^{-1}$ خطای احتمالی $\approx T_s$ را برای شمارش کریستال‌ها نشان می‌دهد. در 31% را برای شمارش کریستال‌ها نشان می‌دهد. در سرعت‌های بالاتر تا 1ms^{-1} با افزایش آهنگ تولید، دقت به طور مداوم افزایش می‌یابد در نتیجه خطای احتمالی به 11% در 6ms^{-1} کاهش می‌یابد. در

برفک در سرعت بالاروی 6ms^{-1} مشاهده شده که احتمالاً به دلیل تغییر بافت برفک از شکل پربه شکل هسته‌ای در سرعت‌های بالاتر می‌باشد (شکلهای ۷ و ۹).

هر چند در این تحقیقات سرعت‌های بین $۱/۵$ تا $۱/۲\text{ms}^{-1}$ با شعاع‌های چرخش ۱۵ و ۲۵cm به کار رفته که شتاب‌های چرخشی از $۹/۰\text{g}$ تا $۹/۶\text{g}$ را ایجاد می‌کند (جدول ۱ و ۲ را ببینید)، ولی در هر سرعت مشخص شده شتاب چرخشی اثر قابل ملاحظه‌ای بر تولید خردینخ ندارد (دقت نتایج را ببینید).

د) اندازه‌گیری‌های دما
دماهای ابر (T_s) در هر آزمایش از میانگین قرائت ۱۲ دقیقه پشت سر هم (هر دقیقه یک بار) دو ترموموپل که در سمت راست و چپ میله برفک گیر و در حدود همان ارتفاع میله‌ها نصب شده، بدست آمده است. این ترموموپل‌ها بواسیله یک دماسنج جیوه‌ای با دقت $\pm 0/2^\circ\text{C}$ کالیبره شده‌اند. برای نایل شدن به دمای سطح برفک ثابت برابر $-5^\circ\text{C} \approx T_s$ ، موقعی که سرعت برفک‌گیر افزایش می‌یابد بسته به سرعت برفک‌گیر، دماهای ابر باید اندکی پایین‌تر آورده شود (جدول ۱ و ۲ را ببینید). مجموع دقت دما در مجموعه آزمایش‌هایین $\pm 0/4^\circ\text{C}$ تا $\pm 0/4^\circ\text{C}$ با میانگین $\pm 0/45^\circ\text{C}$ بوده است.

۷ نتیجه‌گیری

هدف اصلی این پژوهش مطالعه اثر سرعت بالاروی ابر روی فرآیند H-M در دمای سطح برفک ثابت $-5^\circ\text{C} \approx T_s$ بوده است.

تولید خردینخ ثانویه در خلال رشد برفک در ابر سرد در حدود -5°C ، اساساً به برافرازیش قطرک‌های بزرگ (قطر بزرگتر یا مساوی $25\mu\text{m}$) و همچنین آهنگ بر افزایش قطرک‌های ریز (قطر کوچکتر یا مساوی $12\mu\text{m}$) بستگی دارد. رابطه بین تولید خردینخ بر قطرک‌های بزرگ در گستره وسیع‌تری از سرعت‌های برخورد نسبت به سابق (از $1/۵-1/۲\text{ms}^{-1}$) ارایه شده (معادلات ۵ تا ۱۱) و رسم شده است (شکل ۶).

آزمایش‌ها با تایید کارهای محققین گذشته یک بیشینه فرعی با حدود ۳۵ تا ۴۰ خردینخ بر میلی‌گرم برفک در سرعت بالاروی $1/3\text{ms}^{-1}$ ، نشان می‌دهد. مضافاً برای اولین بار در دنیا، یک بیشینه دیگر با مقدار بھینه ۶۰ تا ۷۰ خردینخ بر میلی‌گرم

صادقی حسینی

$R = 15 \text{ cm}$ برای مختلف سرعت‌های پیغامبر نازل جزویات تولید دزات پیغامبر نازل

V [ms^{-1}]	D [mm]	a [g]	T _C [°C]	T _S [°C]	A _t [m^2]	R _{RR} [gm s^{-1}]	R _{RAR} [gm s^{-1}]	E _W [gm^{-3}]	A _{v/RR} [mg^{-1}]	A _{v/RAR} [$\text{cm}^{-2} \text{mg}^{-1}$]	Splinters per mg time	N _s /N _I	A _{AP} [s^{-1}]	LWG [gm^{-3}]	
1.5	4.00	1.5	-5.4	-4.9	0.013	0.117	5.47x10 ⁻⁴	0.456	0.30	0.21	2.57	30/32	4.06x10 ⁻⁴	0.90	
3.0	4.30	6.0	-5.6	-4.7	0.060	0.510	1.96x10 ⁻³	1.630	0.54	0.26	3.13	40/38	22/22	2.73x10 ⁻³	1.04
4.5	4.83	13.5	-5.6	-4.6	0.070	0.640	2.98x10 ⁻³	2.480	0.53	0.21	2.56	37/10	23/27	2.59x10 ⁻³	0.94
6.0	5.12	24.0	-5.7	-4.6	0.150	1.350	3.50x10 ⁻³	2.920	0.49	0.39	4.62	71/03	24/31	4.84x10 ⁻³	0.82
7.5	5.40	37.5	-5.5	-4.3	0.070	0.660	4.75x10 ⁻³	3.960	0.53	0.14	1.66	26.89	21/27	2.59x10 ⁻³	0.81
9.0	5.80	54.0	-5.7	-4.6	0.060	0.570	4.66x10 ⁻³	3.890	0.43	0.12	1.46	25.40	29/33	1.82x10 ⁻³	0.70
12.0	6.00	96.0	-5.8	-4.7	0.050	0.450	5.41x10 ⁻³	4.510	0.38	0.08	1.00	18.00	24/29	1.72x10 ⁻³	0.69

متوسط اب مایع محترای ابر = $LWC = g = 10 \text{ ms}^{-2}$ ($g = 10 \text{ ms}^{-2}$) قدر نسبت به g برای آزمایش های مربوطه به عنوان ضخامت متسط بروک تصویح شده = $D = R$ میانگین تعداد خرد و پیغامبر نازل در بروک پیغامبر نازل و برای مجموع حجم موزع اتفاق پس از کاهش میانگین بلورهای زمینه $A_t = A_p$ دمای سطح بروک (محاسبه شده از مکعب این و پین $T_s = 1967^\circ\text{C}$) درصد فظر کدای بزرگ (ظرف کوچکر با مسازی $12/\mu\text{m}^2$) و کوچک (ظرف کوچکر با مسازی $14/\mu\text{m}^2$) غوطه در شده در تابه N_L ، N_S میانگین آندگ بر رنگرزی = R میانگین آندگ بر افزایش بر رنگرزی = RAR میانگین آندگ بر مایع موزر

جدول ۲. جزئیات تولید ذرات بخ ثانویه در سرعت‌های مختلف برای
 $R = ۱۵ \text{ cm}$

$V [\text{ms}^{-1}]$	$D [\text{mm}]$	$a [\text{g}]$	$T_c [^\circ\text{C}]$	$A_s [S^{-1}]$	$\hat{A}_1 [S^{-1}]$	$R_s [gm]$	$RAR_s [gm^{-1}]$	$EW_3 [gm]$	$A_v RAR_s [cm^2 mg]$	Splinters per mg time	$N_s N_1$	$A_s N_1 [S]$	$LWC_g [gm]$		
1.5	4.00	0.9	-5.6	-5.00	0.0125	0.1125	7.76×10^{-4}	0.647	0.43	0.145	1.74	20.88	$29/30$	4.166×10^{-4}	1.31
3.0	4.26	3.6	-5.8	-4.85	0.0500	0.4500	2.13×10^{-3}	1.770	0.59	0.210	2.54	32.46	$24/25$	2.000×10^{-3}	1.24
4.5	4.84	8.1	-5.6	-4.50	0.0700	0.6300	3.30×10^{-3}	2.650	0.59	0.190	2.38	34.56	$23/28$	2.500×10^{-3}	1.08
6.0	5.45	14.4	-5.4	-4.30	0.1300	1.1700	3.62×10^{-3}	3.010	0.50	0.320	3.89	63.60	$23/23$	5.650×10^{-3}	0.91
7.5	5.83	22.5	-5.7	-4.35	0.0700	0.6300	5.10×10^{-3}	4.260	0.57	0.120	1.48	25.88	$26/23$	3.040×10^{-3}	1.00
9.0	6.10	32.4	-6.1	-4.80	0.0600	0.5400	5.37×10^{-3}	4.480	0.50	0.100	1.21	22.14	$24/22$	2.730×10^{-3}	0.82
12.0	6.32	57.6	-6.5	-5.20	0.0500	0.4500	6.26×10^{-3}	0.210	0.43	0.070	0.86	16.30	$31/24$	2.083×10^{-3}	0.77

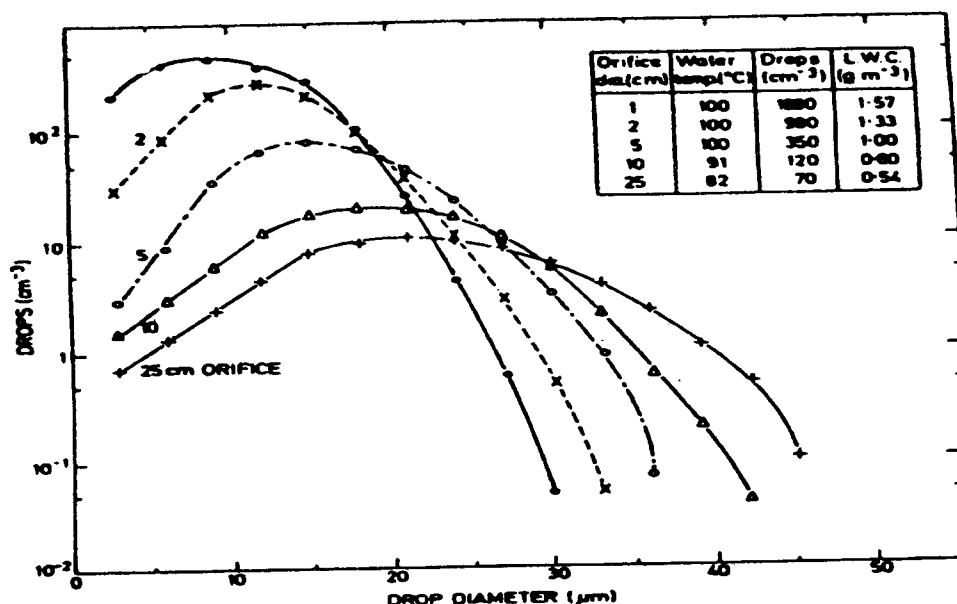
شتاب نسبت به $g (g = ۱۰ \text{ ms}^{-2})$ ، سرعت میله چرخان $= V$ ، شماع چرخش $= R$ میانگین معداد خرد $= D$ ، سرعت میله چرخان $= A$ ، نظر میله چرخان (که برای آزمایش‌های مریبته به عنوان ضخامت متوسط بر فک تصحیح شده) $= A_v RAR_s$ ، دمای ابر $= T_s$ ، درصد نظرکاری بزرگ $= A_1$ و دمای سطح بر فک (محاسبه شده از مک لین و پین ۱۹۶۷) $= T_c$ میانگین آهنج بر فک $= R$ میانگین آهنج بر افزایش بر فک $= RAR_s$ میانگین آهنج بر فک زنی $= R_s$ میانگین آب مایع مرثیه $= LWC$ و محتوای ابر $= EW$

جدول ۳. مقادیر محاسبه شده چگالی های برفک با توجه به شکل ۸

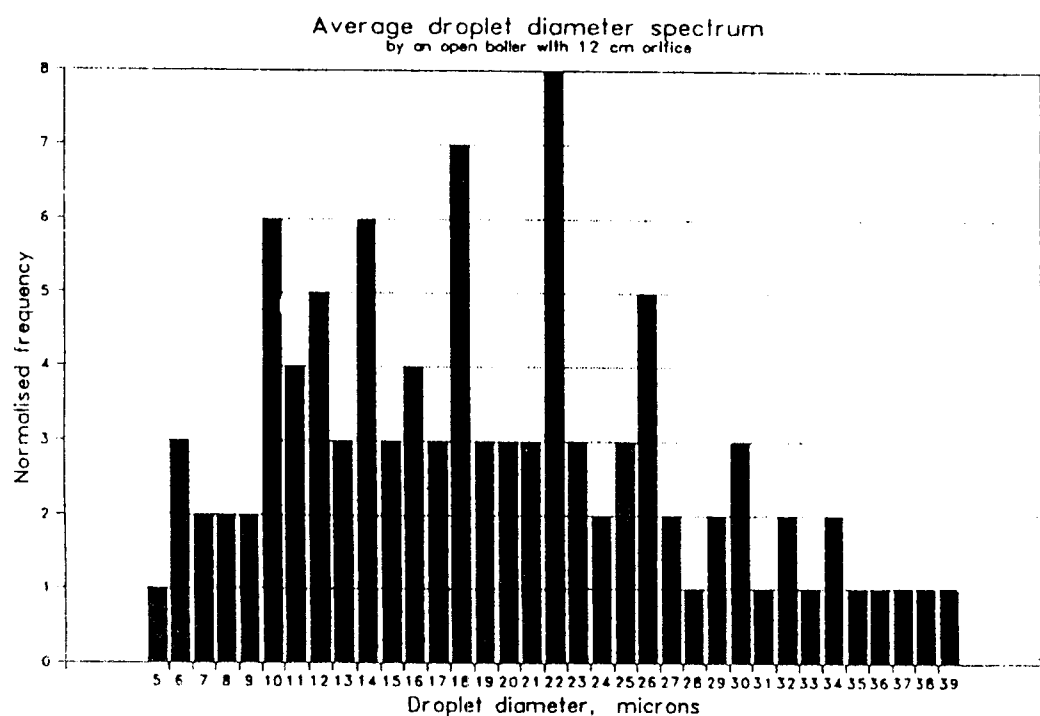
$v_0 \text{ ms}^{-1}$	$r \mu\text{m}$	$T_s \text{ }^\circ\text{C}$	$X \text{ } \mu\text{m sec}^{-10}\text{C}$	$\rho \text{ g cm}^{-3}$
1.5	11.2	-5.0	3.36	0.27
3.0	11.3	-4.8	7.06	0.45
4.5	11.3	-4.6	11.05	0.54
6.0	11.0	-4.5	14.67	0.60
7.5	10.9	-4.4	18.58	0.71
9.0	11.0	-4.7	21.06	0.76
12.0	11.4	-4.9	27.91	0.82

میانگین دمای سطح برفک T_s ، شعاع حجمی میانه قطره r ، سرعت برخورد V

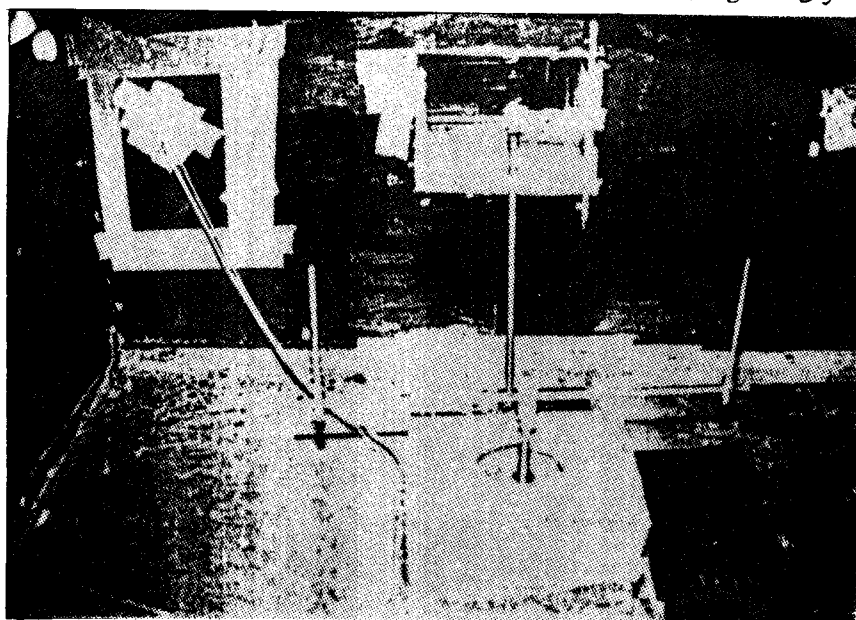
چگالی برفک ρ و ضریب مک لین X



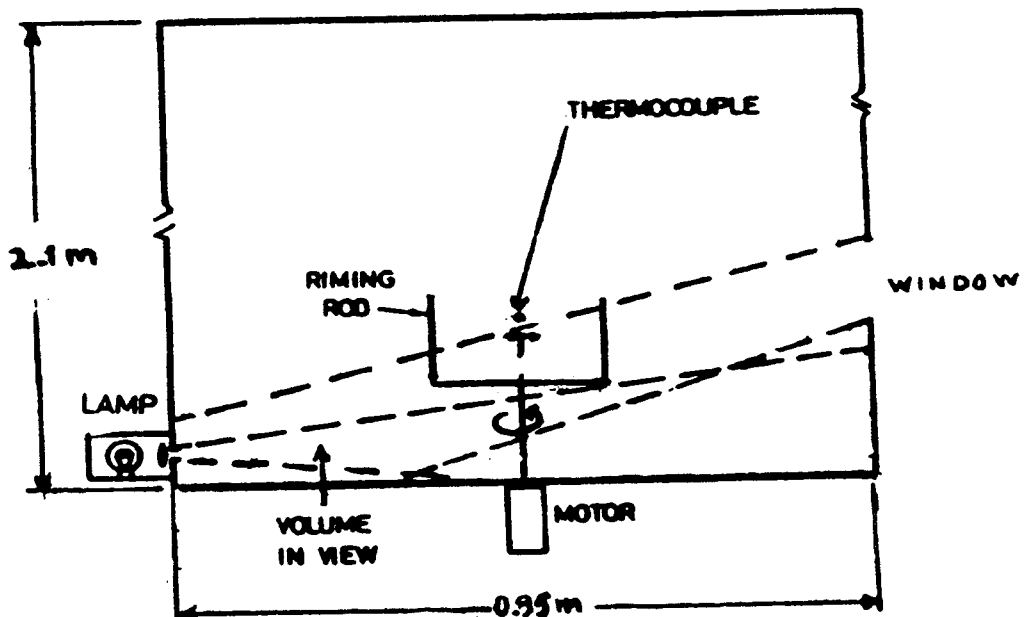
شکل ۱. طیف قطرک تولید شده با اندازه های متفاوت خروجی جوش آور در نیروی اعمال شده ثابت (۶۰۰ W) از موساب (۱۹۸۵)



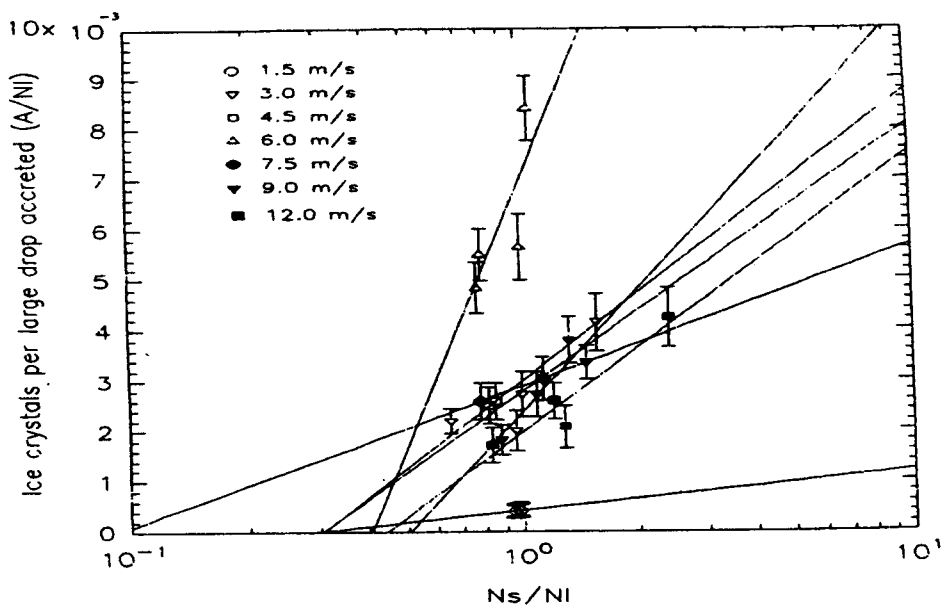
شکل ۲. طیف اندازه قطرک‌های تولید شده بوسیله یک جوش‌آور در باز با قطر ۱۲cm در نیروی اعمال شده ثابت ۶۰۰W با آب مایع محتوای 93 gm^{-3} .



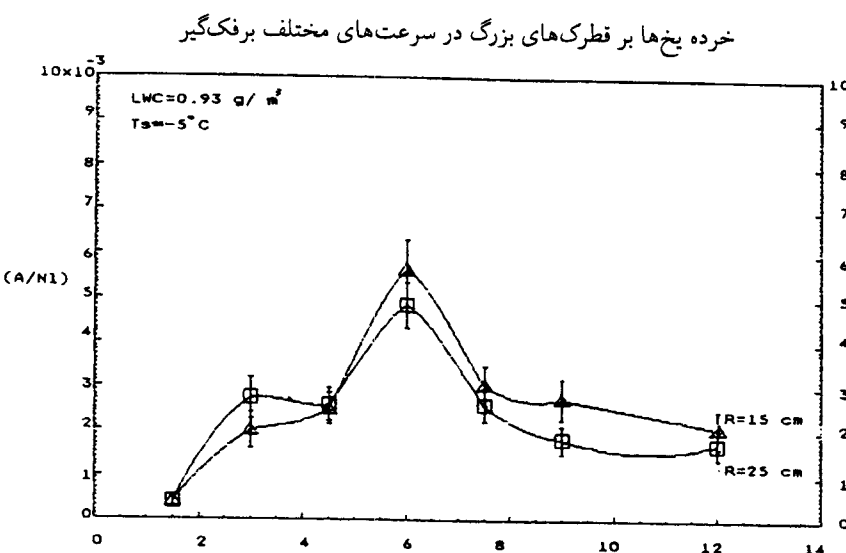
شکل ۳. تصویری از دستگاه میله چرخان که در اتافک ابر نصب شده است



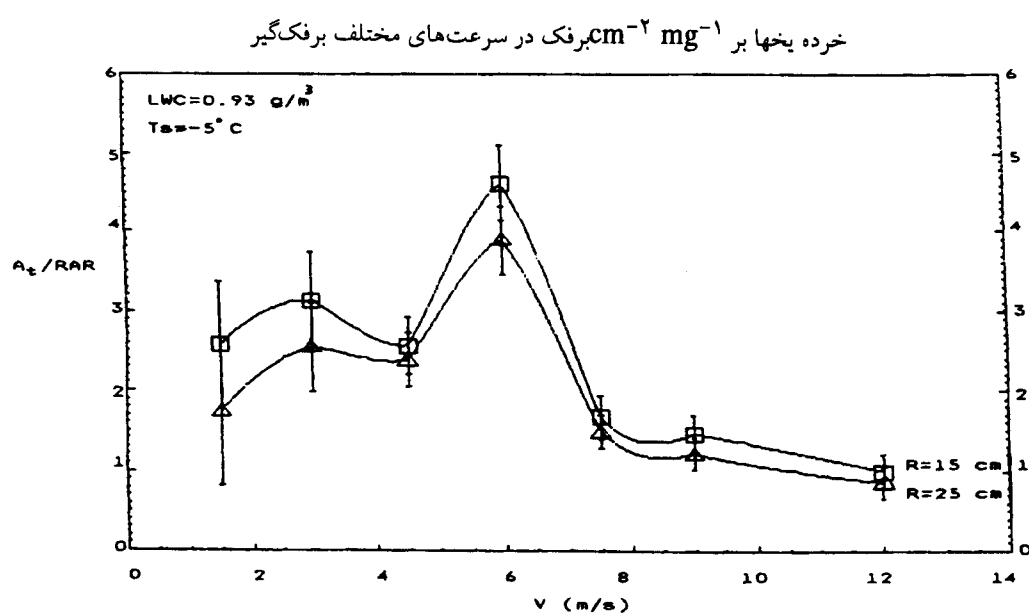
شکل ۴. طرح نمایشی اتافک ابر و تجهیزات وابسته آن



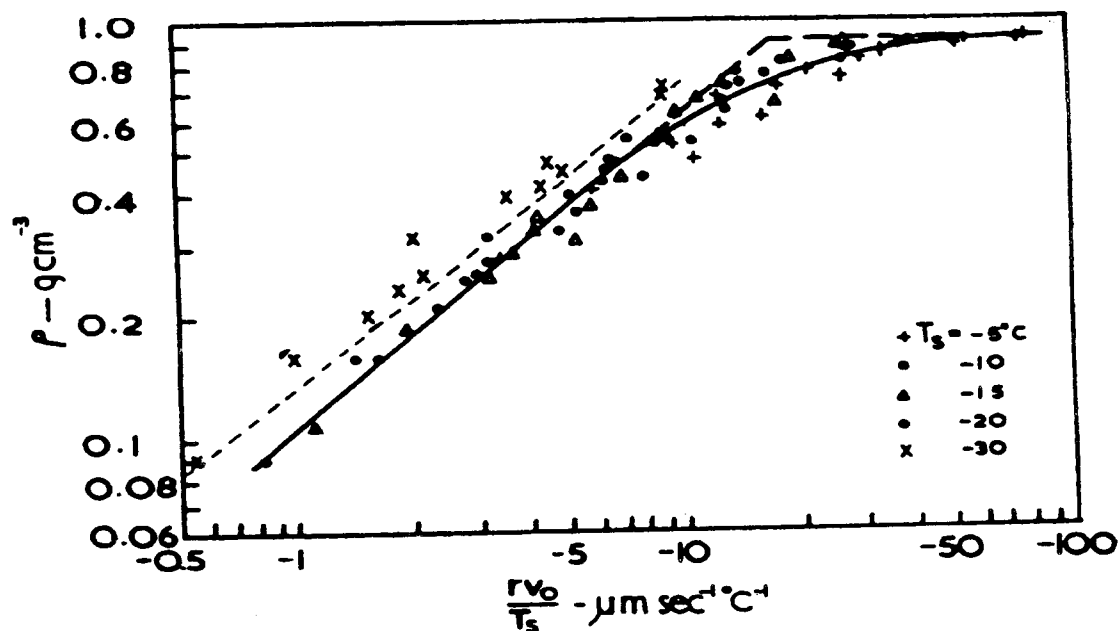
شکل ۵. تعداد خردی یخ های ثانویه تولید شده بر قطرک بزرگ (قطر کوچکتر یا مساوی $25\mu\text{m}$) بر افزایش شده (A/N_L)، که براساس تابع N_s/N_L ، نسبت قطرک های کوچک (قطر بزرگتر یا مساوی $12\mu\text{m}$) به قطرک های بزرگ برآفزاش شده، رسم شده است. خطوط عمودی خطای احتمالی این مقادیر متوسط را نشان می دهد. خطوط براساس فرابرد کمترین مریع ها بر نقاط برآذاش شده در سمت راست هر نشانه سرعت ها در خلال دوره آزمایش نشان داده شده است.



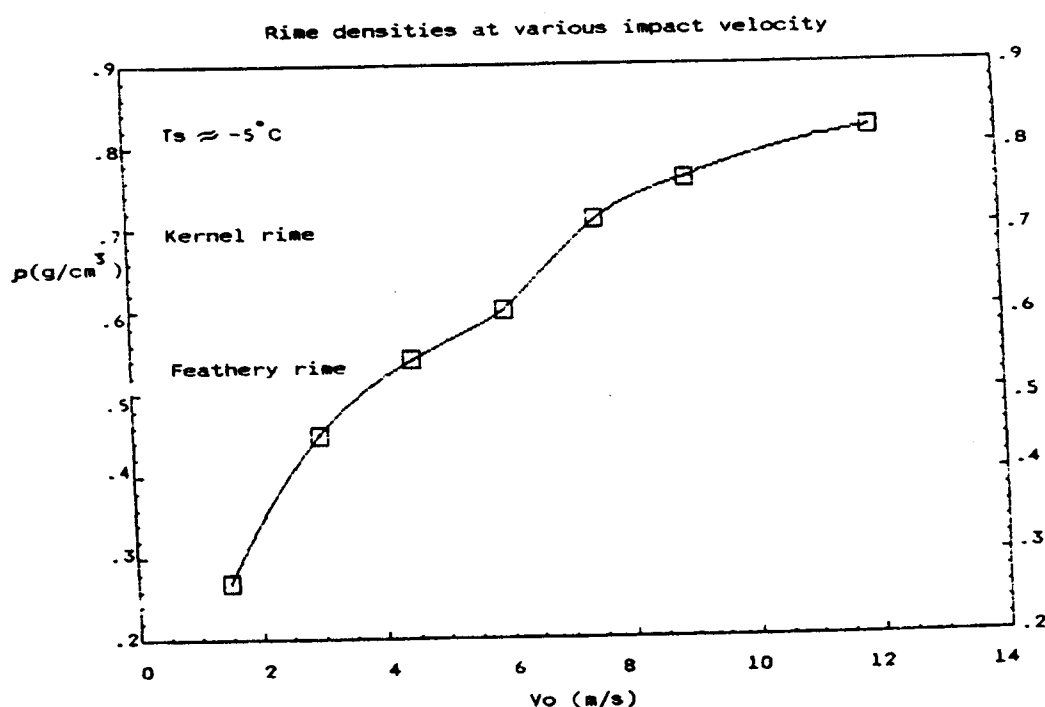
شکل ۶. تعداد خردینخهای ثانویه تولید شده در پرتو نور برای هر قطرک بزرگ (قطرکوچکتر یا مساوی $25\mu\text{m}$) برآفزايش شده (A/N_L) که در مقابل سرعت برفک‌گیر رسم شده. خطوط عمودی خطای احتمالی مقادیر میانگین را مشخص می‌کند. مثلث‌ها برای آزمایش‌هایی که در آنها شعاع برفک‌گیر $R = 15\text{cm}$ و مربع‌ها برای آزمایش‌هایی که در آنها شعاع $R = 25\text{cm}$ است به کار رفته است.



شکل ۷. نسبت مجموع خردینخهای ثانویه بر آهنگ سطح برفک (بر حسب تعداد بر $\text{cm}^{-2} \text{mg}^{-1}$ برفک) به عنوان تابعی از سرعت برفک‌گیر در دمای سطح برفک ثابت (-5°C) و متوسط آب مایع محتوای 0.93 mg/g . خطوط عمودی، خطای احتمالی این مقادیر متوسط رانشان می‌دهد. منحنی‌هایی که از مثلث‌ها و مربع‌ها می‌گذرد بترتیب به شعاع‌های $R = 25\text{cm}$ و $R = 15\text{cm}$ مربوط می‌شود.



شکل ۸. چگالی به عنوان تابعی از ضریب rV_0/T_s . برای رسم منحنی هموار شده از نقاط مربوط به $T_s = -30^\circ\text{C}$ صرفنظر شده است. از مک لین^۱ (۱۹۶۲).



شکل ۹. مقادیر محاسبه شده چگالی برفک به عنوان تابعی از سرعت بالاروی ابر. خمیدگی در حدود سرعت 6 ms^{-1} ناحیه جدایی بین بافت برفک پر شکل و ذرتی شکل برای تولید بیشینه خرد و پختها در این ناحیه است.

منابع

- 415.
- Foster, T., and Hallett, J., 1982, A Laboratory investigation of the influence of liquid water content on the temperature dependence of secondary ice crystal production during soft hail growth: Preprints, Cloud phys. Conf., Chicago, 123-126. A. M. S., Boston
- Goldsmith, P., Gloster, J., and Hume, C., 1976, The ice phase in clouds: Preprints. Int, Conf. Cloud phys., boulder, Colorado, 163-167. A. M. S., Boston.
- Griggs, D. J., and Choularton, T. W., 1983, Freezing modes of riming droplets with application to ice splinter production: Quart. J. R. Met. Soc. **105**, 243.
- Hallett, J., and Mossop, S. C., 1974, Production of secondary ice particles during the riming process: Nature, **249**, 26.
- Keith, W. D., and Saunders, C. P. R., 1990, Further laboratory studies of the charging of graupel during ice crystal interactions: Atmos. Res., **25**, 445.
- Levi, L., Nassello, O. B., and Prodi, F., 1991, The effect of liquid water on thunderstorm charging: Quart. J. R. Met. Soc., **117**, 761.
- Longmuir, I., and Blodgett, K. B., 1946, A Blyth, K. M., and Latham, J., 1997, A multi-thermal model of cumulus glaciation via the Hallett - Mossop process: Quart. J. R. Met. Soc. **123**, 1185.
- Bower, K. N., Moss, S. J., Johnson, D. W., Choularton, T. W., Latham, J., Brown, P. R. A., Blyth, A. M., and Cardwell, J., 1996, A parametrization of the ice water content observed in frontal and convective clouds: Quart. J. R. Met. Soc. **122**, 1815.
- Brooks, I. M., Saunders, C. P. R., Mitzeva, R. P., and peck, S. L., 1977, The effect on thunderstorm charging of the rate of rime accretion by graupel: J. Atmos. Res., **43**, 277.
- Choularton. T. W., Latham, J. and Mason, B. J., 1978, A possible mechanism of ice splinter production during riming: Nature, **274** , 791.
- Choularton. T. W., Griggs, D. J., Humood, B. Y., and Latham M. J., 1980, Laboratory studies of riming and its relation to ice splinter production: Quart, J. R. Met. Soc., **106**, 367.
- Clark, V., 1948, Icing nomenclature. Harvard - Mount., Washington Icing Res. Rep. 1946 - 47, U. S. A. F.: Tech. Rep., 5676,

- Geophys. Res., **96**, 11007.
- Wishart, E. R., 1977, An instrument for measuring liquid water content of laboratory supercooled clouds: *J. de Recherches Atmospheriques*, **11**, 191.
- mathematical investigation of water droplet trajectories: Rep. 5418, US Army Dayton. OH.
- Macklin, W. C., 1962, The density and structure of ice formed by accretion. *Quart. J. R. Met. Soc.*, **87**, 413.
- Macklin, W. C., and Payne, G. S., 1967, Some aspects of the accretion process: *Quart. J. R. Met. Soc.*, **94**, 167.
- Mason, B. J., 1998, The production of high ice crystal concentrations in stratiform clouds: *Quart. J. R. Met. Soc.*, **125**, 486.
- Mossop, S. C., and Hallett, J., 1974, Ice crystal concentration in cumulus clouds: Influence of the drop spectrum: *Science*, **186**, 632.
- Mossop, S. C., 1976, Production of secondary ice particles during the growth of graupel by riming: *Quart. J. R. Met. Soc.*, **102**, 45.
- Mossop, S. C. 1978, The influence of drop size distribution on the production of secondary ice particles during graupel growth. *ibid*, **104**, 323.
- Mossop, S. C., 1985, Secondary ice particle production during rime growth: the effect of drop size distribution and rimer velocity: *Quart. J. R. Met. Soc.*, **111**, 1113.
- Saunders, C. P. R., Keith, W. D., and Mitzeva, R. P., 1991, The effect of liquid water on thunderstorm charging: *J.*